

ИЗВЕСТИЯ
ТОМСКОГО ОРДЕНА ОКТЯБРЬСКОЙ РЕВОЛЮЦИИ И ОРДЕНА
ТРУДОВОГО КРАСНОГО ЗНАМЕНИ ПОЛИТЕХНИЧЕСКОГО
ИНСТИТУТА им. С. М. КИРОВА

Том 232

1975

ВОЗБУЖДЕНИЕ РЕЗОНАТОРА ВИТКОМ СВЯЗИ

Н. А. ЛАШУК, В. И. ТОЛМАЧЕВ

(Представлена семинаром лаборатории высоких энергий НИИ ЯФЭА)

Для того, чтобы возбудить объемный резонатор, т. е. скомпенсировать имеющиеся в нем потери, необходимо связать его с источником высокочастотных колебаний. Связь источника с резонатором может быть индуктивной, кондуктивной, емкостной и щелевой. Последний способ используется в диапазоне СВЧ колебаний при возбуждении резонатора волноводом. Первые три способа с энергетической точки зрения равнозначны и применение каждого из них обусловливается типом колебаний, который необходимо получить в резонаторе, удобством подвода энергии и размещения элементов связи.

В случае передачи энергии коаксиальным кабелем (фидером) целесообразно применять индуктивный способ возбуждения, так как он обеспечивает простое крепление кабеля и доступ к элементам связи. Эквивалентная схема возбуждения резонатора, в котором распределенные индуктивность и емкость могут рассматриваться как сосредоточенные, приведена на рис. 1. Цепь, состоящая из высокочастотного генератора, фидера, элементов связи и резонатора, представляет собой систему из двух связанных контуров, возбуждающего и возбуждаемого.

В схеме рис. 1, б

$$R_1 = W_\phi + r_1 \text{ и } R_2 = r_2 + r_n,$$

где W_ϕ и r_1 — волновое сопротивление фидера и сопротивление потерь витка;

r_2 и r_n — сопротивление потерь резонатора и сопротивление из-за нагрузки пучком;

L_1, C_1, L_2, C_2 — эквивалентные индуктивности и емкости цепи возбуждения и резонатора;

$e(t)$ — напряжение, развиваемое генератором на входе фидера. Составляя дифференциальные уравнения для системы контуров и рассматривая входное сопротивление со стороны резонатора для токов I_1 и I_2 , получим следующие выражения:

$$I_1 = \frac{j\omega M I_2 - e(t)}{Z_1} = -\frac{e(t)}{Z_1} \left(1 + \frac{\omega^2 M^2}{Z_1 Z_{2n}} \right), \quad (1)$$

$$I_2 = \frac{j\omega M e(t)}{Z_1 \left[\left(R_2 + \frac{\omega^2 M^2}{Z_1^2} R_1 \right) - j \left(X_2 - \frac{\omega^2 M^2}{Z_1^2} X_1 \right) \right]} = \frac{j\omega M e(t)}{Z_1 Z_{2\Theta}}, \quad (2)$$

$$\text{где } Z_1 = \sqrt{R_1^2 + X_1^2}, \quad X_1 = \omega L_1 - \frac{1}{\omega C_1}, \quad X_2 = \omega L_2 - \frac{1}{\omega C_2},$$

M — величина связи между контурами.

При решении задачи о возбуждении резонатора представляет интерес получение максимального напряжения на ускоряющем зазоре или, что то же самое, максимального контурного тока. Это условие выполняется при определенной связи между контурами и определенных эквивалентном и полном сопротивлениях контура возбуждения и резонатора.

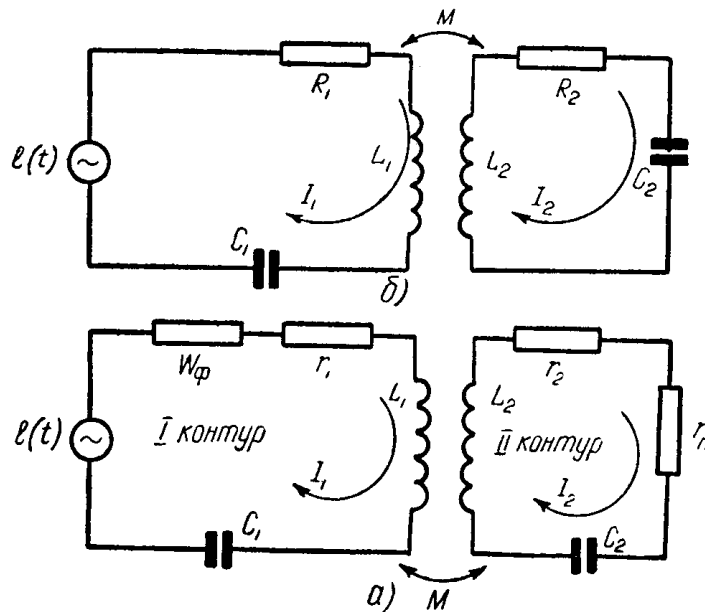


Рис. 1. Эквивалентная схема возбуждения резонатора, сильно нагруженного емкостью.

Анализируя выражения (1) и (2), можно показать, что при полном резонансе, т. е. когда частоты генератора, резонатора и контура возбуждения равны, токи определяются выражениями:

$$I_{1\max} = \frac{e(t)}{R_1 + \frac{\omega^2 M^2}{R_2}} = \frac{e(t)}{R_{1\Theta}}, \quad (3)$$

$$I_{2\max} = \frac{j\omega M e(t)}{R_{1\Theta} R_2} = I_{1\max} \frac{j\omega M}{R_2}. \quad (4)$$

В случае частичного резонанса, когда частота контура возбуждения постоянная, а частота резонатора регулируется при $X_2 = X_1 \frac{\omega^2 M^2}{Z_1^2}$, выражения для токов принимают вид

$$I_{1\max} = \frac{e(t) Z_2}{R_{2\Theta} Z_1}, \quad (5)$$

$$I_{2\max} = \frac{j\omega M e(t)}{R_2 Z_1} = I_{1\max} \frac{j\omega M}{Z_2}. \quad (6)$$

Аналогичные выражения можно получить и для другого частного резонанса, когда частота резонатора постоянная, а частота контура возбуждения регулируется.

Токи в уравнениях (5) и (6) не являются предельными, они зависят от связи между контурами. Беря производную $\frac{dI_2}{d\omega M} = 0$ и решая относительно связи, найдем для полного и частного резонансов

$$M_{1\text{opt}} = \frac{\sqrt{R_1 R_2}}{\omega} \text{ и } M_{2\text{opt}} = \frac{Z_1}{\omega} \sqrt{\frac{R_2}{R_1}}. \quad (7)$$

Подставляя M_{opt} в соответствующие значения токов $I_{2\max}$, получим, что для каждого из рассмотренных случаев предельные токи одинаковы и равны

$$I_{2\max} = \frac{e(t)}{\sqrt{R_1 R_2}}. \quad (8)$$

В случае частного резонанса для получения предельного тока необходимо увеличение связи по сравнению с полным резонансом. Можно показать, что для небольших расстроек это увеличение незначительно и легко может быть реализуемо. При больших расстройках увеличение связи становится существенным и в итоге может послужить ограничением для получения предельного тока.

Зависимость токов от связи определяется выражением

$$\frac{I_2}{I_{2\max}} = \frac{2 \cdot \frac{M}{M_{\text{opt}}}}{1 + \frac{M^2}{M_{\text{opt}}^2}} = \frac{\sqrt{1 + \frac{X^2}{R_1^2}}}{2 + \frac{X^2}{R_1^2}}, \quad (9)$$

теоретические кривые которой для $X=0$ и $X=R$ приведены на рис. 2. Из сравнения кривых следует, что при $X=R$ требуется увеличение связи в $\sqrt{2}$ раз по сравнению с оптимальной, и максимум кривой становится менее острым. Естественно, что наиболее выгодным при возбуждении резонатора является случай полного резонанса. Однако использование конденсатора C_1 в контуре возбуждения нежелательно по следующим причинам. Во-первых, из-за резонанса напряжений в последовательном контуре на его элементах будет развиваться большое в. ч. напряжение, в Q_1 раз большее приложенного, где Q_1 — добротность контура возбуждения. Во-вторых, использование C_1 приводит к усложнению конструкции и уменьшению надежности в работе. Применение параллельного контура также не свободно от недостатков: сложность конструкции, большие контурные токи и т. д. Поэтому обычно используются индуктивные системы возбуждения резонаторов без конденсатора.

Рассмотрим этот случай. Полагая в (2) $Z_1 = R_1 + j\omega L_1$ и $X_1 = j\omega L_1$, выражение для тока в резонаторе будет определяться выражением

$$I_2 = \frac{j\omega M e(t)}{\left[\left(R_2 + \frac{\omega^2 M^2}{R_1^2 + \omega^2 L_1^2} R_1 \right) + j \left(X_2 - \frac{\omega^2 M^2}{R_1^2 + \omega^2 L_1^2} \omega L_1 \right) \right] (R_1 + j\omega L_1)}. \quad (10)$$

Максимальное значение тока будет при

$$X_2 = \frac{\omega^2 M^2}{R_1^2 + \omega^2 L_1^2} \omega L_1.$$

Вносимое реактивное сопротивление в резонатор будем емкостным, которое может быть компенсировано расстройкой резонатора в сторону увеличения частоты относительно частоты возбуждения. Величина оптимальной связи петли возбуждения с резонатором будет

$$M_{opt} = \frac{Z_1}{\omega} \sqrt{\frac{R_2}{R_1}} = \frac{(R_1 + j\omega L_1)}{\omega} \sqrt{\frac{R_2}{R_1}}. \quad (11)$$

При оптимальной связи вносимое в резонатор сопротивление равно сопротивлению потерь, а ток достигает максимального значения, равного току при полном резонансе.

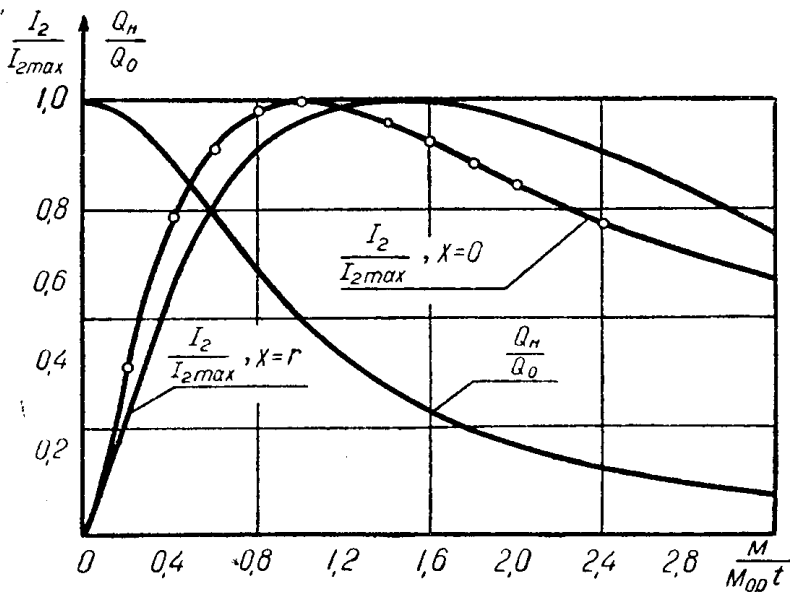


Рис. 2. Относительные зависимости тока и добротности резонатора от величины связи резонатора с источником.

Таким образом, при оптимальной связи и произвольном реактивном сопротивлении цепи возбуждения нагруженная добротность резонатора в два раза меньше собственной. С изменением связи относительно оптимальной изменяется вносимое сопротивление, а следовательно, и нагруженная добротность. Относительное изменение добротности определяется выражением

$$\frac{Q_n}{Q_0} = \frac{1}{1 + \frac{R_{bh}}{R_2}} = \frac{1}{1 + \frac{\omega^2 M^2}{Z_1^2} X_1}, \quad (12)$$

зависимость которой приведена на рис. 2.

При очень малой связи, когда $\frac{R_{bh}}{R_2} \ll 1$, нагруженная добротность почти равна собственной, и это условие необходимо выполнять при из-

мерении добротности резонаторов. Практически достаточно, чтобы $M \leq 0,2 M_{\text{opt}}$.

При расчете высокочастотных ускоряющих систем необходимо учитывать уменьшение добротности резонаторов не только за счет связи с фидером возбуждения, но и за счет нагрузки пучком. Нагрузка приводит к уменьшению шунтового сопротивления и смещению частоты резонатора в зависимости от величины ускоренного тока, напряжения на зазоре резонатора и фазового сдвига между этими величинами. Это потребует дополнительного увеличения связи между генератором и резонатором и соответствующего увеличения подводимой в. ч. мощности.

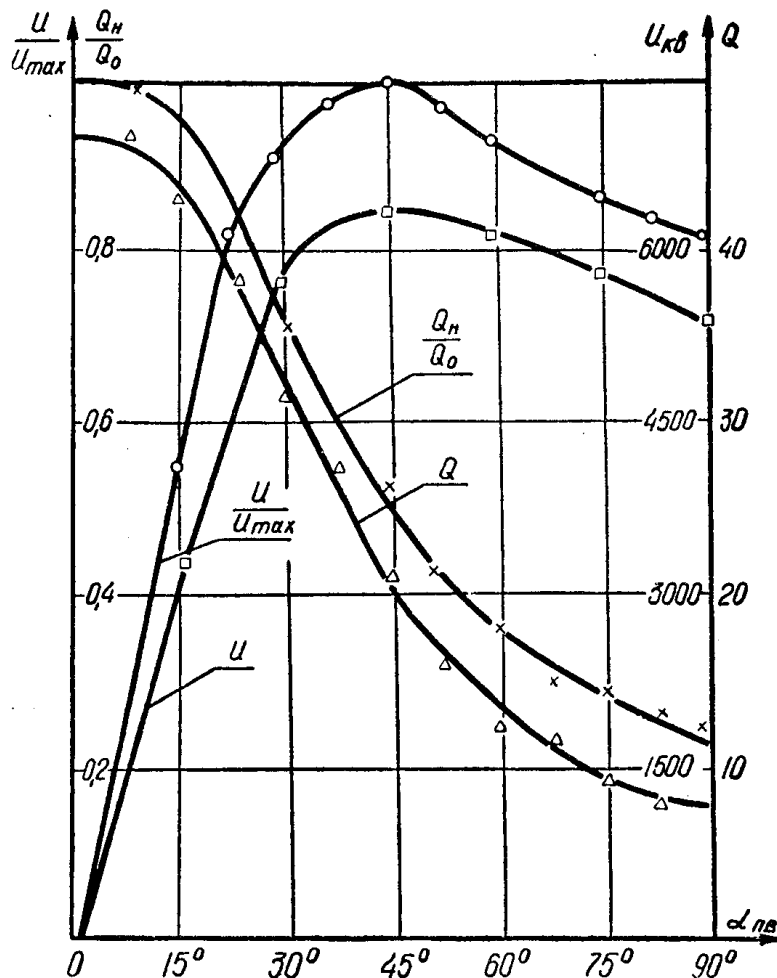


Рис. 3. Экспериментальные кривые напряжения и добротности резонатора от угла поворота петли возбуждения.

Требуемой связи соответствует определенная площадь петли, зависящая от типа резонатора и его параметров. Для тороидального или цилиндрического резонаторов, сильно нагруженных емкостью, эта связь определяется выражением

$$S_n = \frac{\pi(\Phi_1 + \Phi_2)}{\mu_0 \omega_0 Q_0} \sqrt{W_\Phi R_m \left(1 + \frac{\omega^2 L_1^2}{W_\Phi^2}\right)} \frac{1}{\sin \alpha}, \quad (13)$$

где S_n — площадь петли в см^2 ;

$\mu_0 = 4\pi \cdot 10^{-9}$ Гн/м — относительная магнитная проницаемость;

ω_0 , Q_0 и R_{sh} — частота, собственная добротность и шунтовое сопротивление резонатора;
 Φ_1 и Φ_2 — размеры резонатора;
 α — угол между направлением магнитного поля и плоскостью петли.
Величина связи и площадь петли между собой связаны соотношением

$$M = \frac{\mu_0 S_n \sin \alpha}{\pi(\Phi_1 + \Phi_2)}. \quad (14)$$

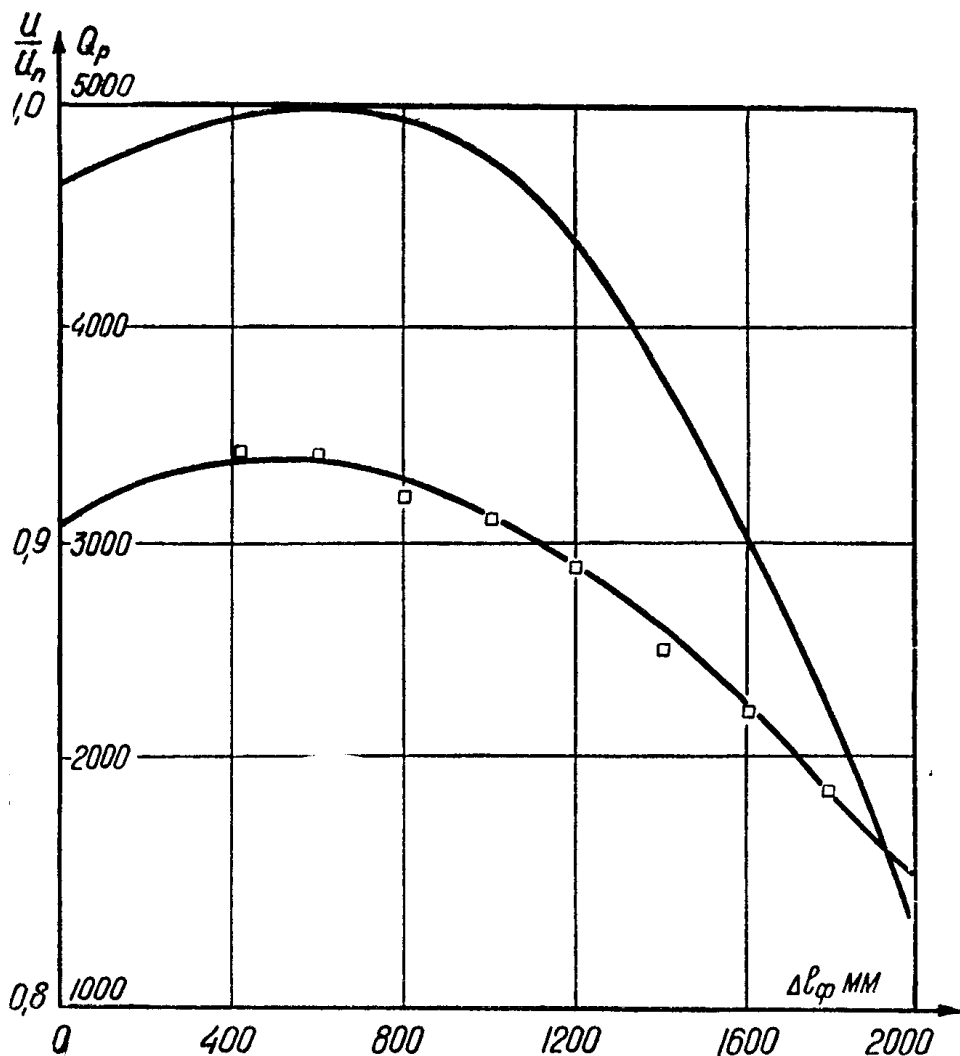


Рис. 4. Экспериментальные зависимости напряжения и добротности резонатора от длины фидера возбуждения.

С целью проверки полученных теоретических результатов и получения наивыгоднейшей связи с резонатором проводилось экспериментальное исследование индуктивного возбуждения резонатора без настройки петли. Параметры цепи: $L_1 = 260$ см, $C_1 = 74$ нФ, $L_2 = 106$ см, $C_2 = 180$ нФ, $\rho = 24,4$ ом, $\omega_0 = 230$ 1/сек; $W_\Phi = 60$ ом, $S_n = 170$ см², $\Phi_1 = 130$ см, $\Phi_2 = 34,5$ см.

При проведении эксперимента мощность и частота генератора поддерживались постоянными, а настройка системы в резонанс осуществлялась изменением частоты резонатора. Плавный поворот петли произ-

водился в пределах от 0 до 90° . Напряжение на зазоре резонатора изменилось с помощью прокалиброванного индуктивного датчика, а добротность — по времени установления колебаний. На рис. 3 приведены экспериментальные характеристики $\frac{U}{U_{\max}}, \frac{Q_h}{Q_0}, U$ и Q в функции от угла поворота петли возбуждения. Из графиков следует, что в данном конкретном случае оптимальная связь имеет место при повороте петли на угол 45° , при которой нагруженная добротность равна 3500 и в два раза меньше собственной. Эффективная площадь петли равна $160 \text{ cm}^2 \cdot \sin 45^\circ = 120 \text{ cm}^2$, а расчетная величина при $Q_0 = 7000$ составляет 112 cm^2 . В случае компенсации индуктивности петли емкостью ее площадь уменьшается до 80 cm^2 . Из выражений (13) и (14) следует, что величина связи зависит лишь от параметров резонатора и площади петли, но не зависит от ее индуктивности. Следовательно, проектирование петли необходимо производить с условием получения ее минимальной индуктивности. При $\frac{\omega^2 L_1^2}{W_\Phi} \ll 1$ входное сопротивление петли практически активно, а ее площадь минимальна. Из этих соображений желательно выбирать линию передачи с малым волновым сопротивлением, а резонатор с большой добротностью.

Важную роль при выборе связи играет длина фидера возбуждения, т. е. его входное сопротивление, с изменением которого для получения максимального напряжения на резонаторе должна изменяться и оптимальная связь. Это можно показать, анализируя выражение (2), где Z_1 принимается с учетом длины фидера. Это положение подтверждается экспериментальными данными, приведенными на рис. 4, где приведены зависимости напряжения на резонаторе и его добротности в функции от длины фидера при определенной связи.

Максимум напряжения и добротности при $W_\Phi = \omega L_1$ имеет место при длине фидера, равной $(2n+1)\frac{\lambda}{4}$. При компенсации индуктивности петли емкостью величина связи и добротность резонатора не зависят от длины фидера возбуждения.

Таким образом, при расчете радиочастотных ускоряющих систем необходимо принимать нагруженную добротность резонатора в 2 раза меньше собственной, полученной расчетным путем или измеренной при очень слабой связи с источником. При нагрузке пучком шунтовое сопротивление нагруженного резонатора уменьшается и, следовательно, связь необходимо увеличивать относительно оптимальной. Полученные теоретические результаты хорошо согласуются с экспериментальными данными, полученными при исследовании резонаторов метрового диапазона синхротрона «Сириус».

ЛИТЕРАТУРА

1. И. Н. Крылов. Теоретические основы радиотехники. Изд-во «Морской транспорт», Л., 1961.
2. В. А. Визирь, Н. А. Лашук, Б. А. Солнцев. Известия вузов, «Физика», № 6, 1971.